Конструирование
Производство
Дистрибуция

НПК ТЕКО - ИНН 7453019186

г. Челябинск, ул. Кислицина, 100
8 (800) 333-70-75, 8 (351) 240-84-83
sale@teko-com.ru
teko-com.ru



LR18XBN12DNOY-E2 Индуктивный датчик

Описание

LR18XBN12DNOY-E2 - Индуктивный датчик производителя Lanbao.

Датчик работает по принципу демпфирования электромагнитного поля при приближении металлического объекта к чувствительной поверхности. Это приводит к срабатыванию порогового устройства и переключению выходного сигнала.

Корпус: **Цилиндрический резьбовой**; материал — Латунь; со степенью защиты IP67; Способ установки: **Невстраиваемый**; Рабочая температура : от -25 до 70.

Электрические характеристики: 4х проводный; DC; (10 ... 30); (NO); выход — NPN; Номинальное расстояние срабатывания — 12 мм; со световой индикацией состояния.

Технические характеристики

г. Челябинск, ул. Кислицина, 100
8 (800) 333-70-75, 8 (351) 240-84-83
sale@teko-com.ru
teko-com.ru

Бренд	Lanbao
Корпус	Цилиндрический резьбовой
Материал корпуса	Латунь
Расстояние срабатывания, мм	12
Монтажное исполнение	Невстраиваемый
Диаметр резьбового корпуса, мм	M18x1
Длина цилиндрического корпуса, мм	63
Тип напряжения питания	DC
Напряжение питания, В	10 ... 30
Максимальный рабочий ток, мА	200
Количество проводов (pin)	4
Тип выходного сигнала	Дискретный
Структура выхода	NPN
Функция переключения	НО Замыкающий
Температурное исполнение	Общепромышленный
Частота переключения, Гц	200
Минимальная рабочая температура, °C	-25
Максимальная рабочая температура, °C	70
Индикация	Есть
Комплексная защита	Есть
Специальное назначение	Увеличенное расстояние срабатывания
Способ подключения	Разъем

г. Челябинск, ул. Кислицина, 100
8 (800) 333-70-75, 8 (351) 240-84-83
sale@teko-com.ru
teko-com.ru

Степень защиты	IP67
Тип разъема	Штекер M12

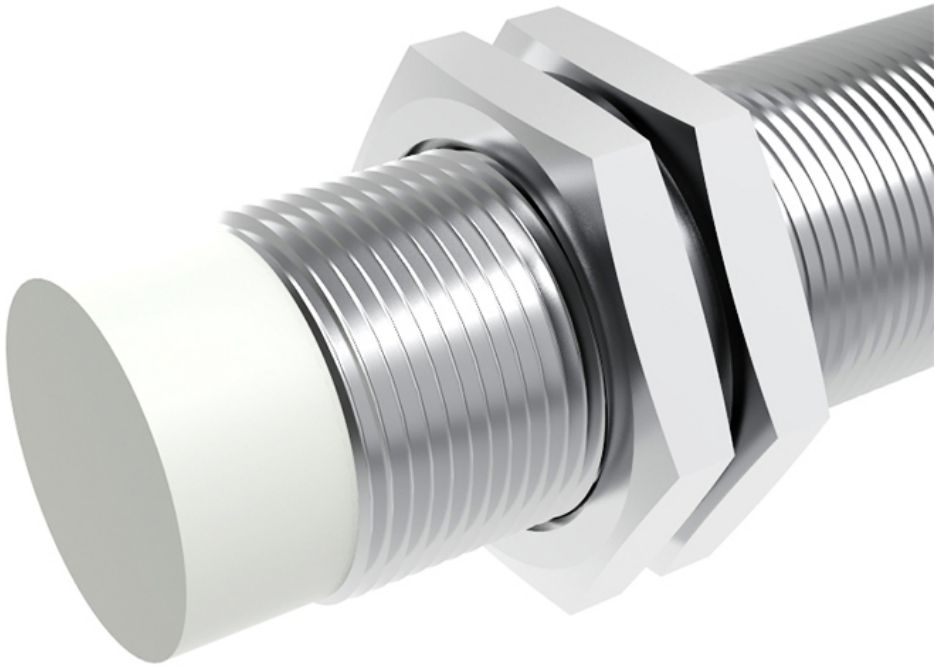
Дополнительная информация

Рисунок 1



г. Челябинск, ул. Кислицина, 100
8 (800) 333-70-75, 8 (351) 240-84-83
sale@teko-com.ru
teko-com.ru

Рисунок 2



г. Челябинск, ул. Кислицина, 100
8 (800) 333-70-75, 8 (351) 240-84-83
sale@teko-com.ru
teko-com.ru

Рисунок 3



Рисунок 4

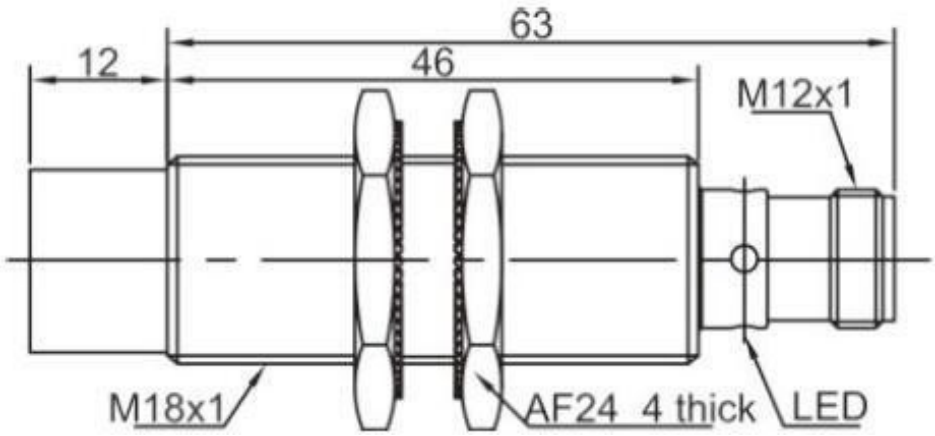


Рисунок 5

